



机器视觉测量与建模

Machine vision based surveying and modelling



李明磊

南京航空航天大学 电子信息工程学院

E-mail: minglei_li@nuaa.edu.cn

1



3. 相机的几何标定

3.1 相机标定的基本概念

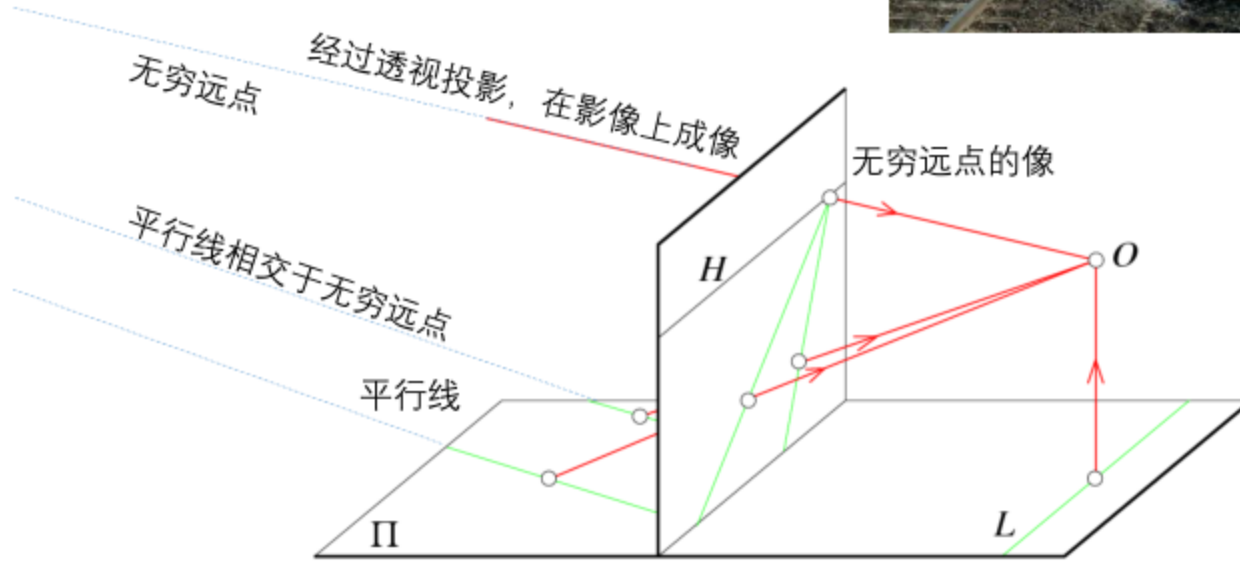
3.2 直接线性变换法标定

3.3 棋盘格标定方法

3.4 其它标定算法

3.4 其它标定算法

基于灭点的标定 Calibration from Vanishing Points



李明磊@nuaa

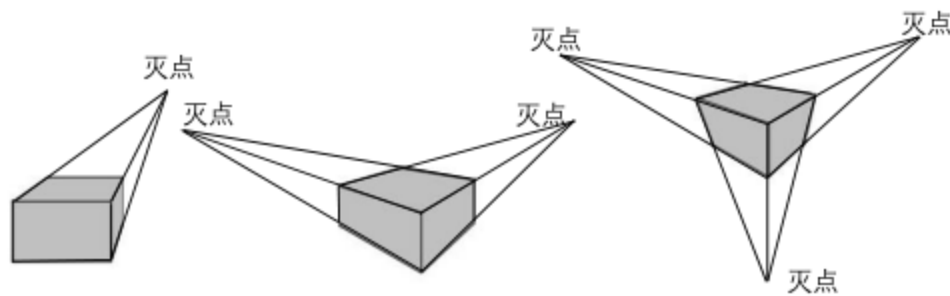
3

3.4 其它标定算法

基于灭点的标定 Calibration from Vanishing Points



场景中的两条平行线在无穷远处相交。在投影图像上，这些线通常不是平行的，并且在具有明确定义的图像坐标的图像点 \mathbf{v} 处相交，称为“灭点”。

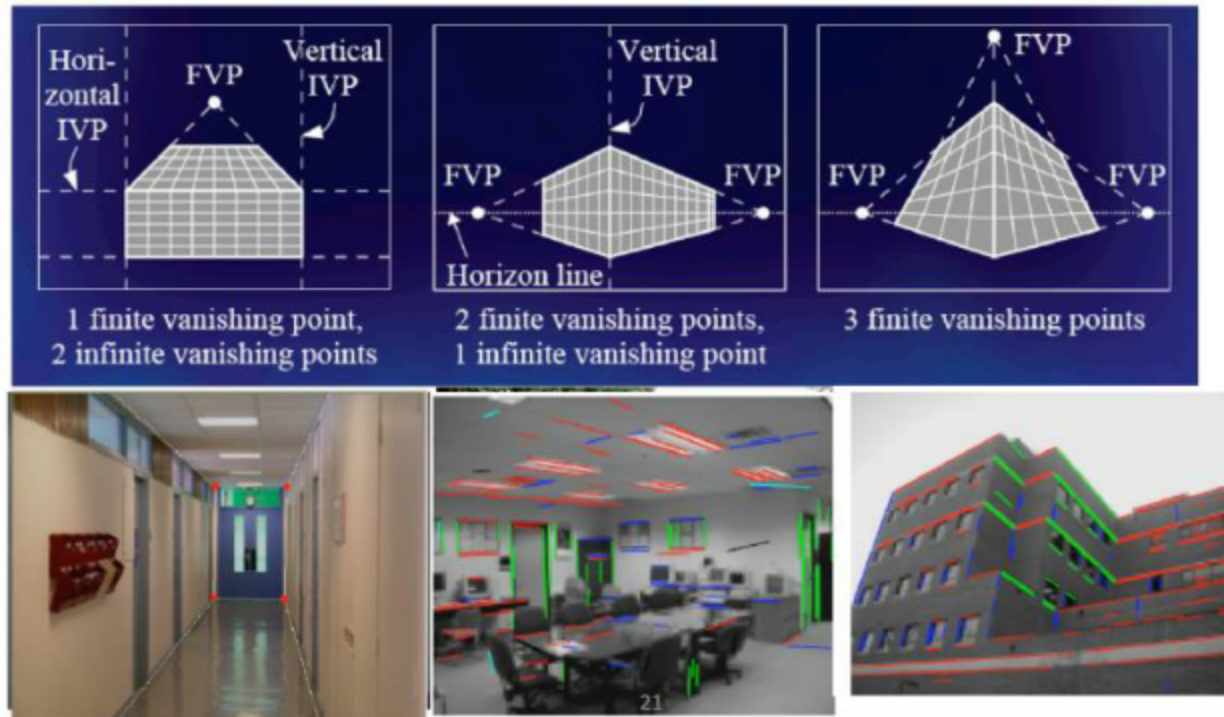


(a) 一点透视，像平面平行于立方体的某一平面；(b) 二点透视，像平面平行于立方体的某一条边；(c) 三点透视，投影面与三个坐标轴都相交。

李明磊@nuaa

4

3.4 其它标定算法



通过从影像中提取出场景中存在的平行线，根据Hartley和Zisserman（2003）的方案，灭点意味着正交方向允许确定IAC ω 。

李明磊@nuua

5

3.4 其它标定算法

回顾：2.4 射影几何基础

绝对圆锥曲线 (Absolute Conic, AC)

- ✓ 设有无穷远平面 Π_∞ ，这个平面在三维空间中处于无穷远处， $\Pi_\infty = [0 \ 0 \ 0 \ 1]^T$
- ✓ 点 $\mathbf{M} = [X \ Y \ Z \ W]^T$ ，如果在平面 Π_∞ 内，满足： $X^2 + Y^2 + Z^2 = 0, W = 0$ （虚数点）
由二次曲线与点的公式 $\mathbf{x}^T \mathbf{C} \mathbf{x} = 0$ ，可以发现AC对应的矩阵是单位阵 $\mathbf{C} = \mathbf{I}$ 。
- ✓ 空间任意平面中的圆，在平面 Π_∞ 上的摄影投影都必经过2个点，这两点被称为circle points（相当于一个圆锥，被无穷远平面截出的圆锥曲线，必然过2个点）
- ✓ 所有平面上的圆的circle points在 Π_∞ 上组成就组成了绝对圆锥曲线，通常记为 Ω_∞
即绝对圆锥曲线 Ω_∞ （Absolute conic）是在无穷远平面上的一个二次曲线
- ✓ Ω_∞ 上的点 \mathbf{M} 满足： $X^2 + Y^2 + Z^2 = 0, W = 0$ 。因此可知， $\mathbf{M}^T \mathbf{M} = 0$
- ✓ Ω_∞ 上的点 \mathbf{M} ，经过刚性变换后的点 \mathbf{M}' ，仍满足 $\mathbf{M}'^T \mathbf{M}' = 0$ ，即对刚性变换具有不变性（物体只发生平移变换和旋转变换，而形状不变，这类变换称为刚体变换）

李明磊@nuua

6

3.4 其它标定算法

绝对圆锥曲线 Ω_∞ 在成像平面对应的图像称为 ω ,

ω 记为IAC (Image of the absolute conic) ω^* 绝对二次曲面的像

Ω_∞ 上的任意无穷远点 M_∞ , 摄影成像后点在 ω 上的点 m_∞ , 满足

$$M_\infty = \begin{bmatrix} X_{M_\infty} \\ Y_{M_\infty} \\ Z_{M_\infty} \\ 0 \end{bmatrix} \quad m_\infty = \lambda K[R | t] M_\infty = \lambda KR \begin{bmatrix} X_{M_\infty} \\ Y_{M_\infty} \\ Z_{M_\infty} \end{bmatrix} \Rightarrow \text{简化 } d = \begin{bmatrix} X_{M_\infty} \\ Y_{M_\infty} \\ Z_{M_\infty} \end{bmatrix} \Rightarrow m_\infty: KRd$$

$$\Rightarrow M^\infty: R^T K^{-1} m_\infty$$

$$\text{因为AC上满足 } M_\infty^T M^\infty = 0 \quad \rightarrow \quad m_\infty^T K^{-T} R R^T K^{-1} m_\infty = 0$$

$$C = I$$

$$m_\infty^T K^{-T} K^{-1} m_\infty = 0$$

绝对圆锥曲线的像: $\omega = (KK^T)^{-1} = K^{-T} K^{-1}$ 且 $\omega^* = \omega^{-1} = KK^T$

一旦矩阵 ω^* 已知, 基于Cholesky因式分解矩阵就很容易获得。就摄像机

内参本身而言, $\omega^* = KK^T$ 可以表示为:

$$\omega^* = \begin{bmatrix} \alpha_u^2 + \alpha_u^2 \cot^2 \theta + u_0^2 & \alpha_u \alpha_v \cos \theta / \sin^2 \theta + u_0 v_0 & u_0 \\ \alpha_u \alpha_v \cos \theta / \sin^2 \theta + u_0 v_0 & \alpha_v^2 / \sin^2 \theta + v_0^2 & v_0 \\ u_0 & v_0 & 1 \end{bmatrix}$$

李明磊@nuaa

7

3.4 其它标定算法

基于灭点的标定 Calibration from Vanishing Points

- 假设一个三维方向 e : $e = [0 \ 0 \ 1]^T$
- 这个方向上的消失点映射到图像平面

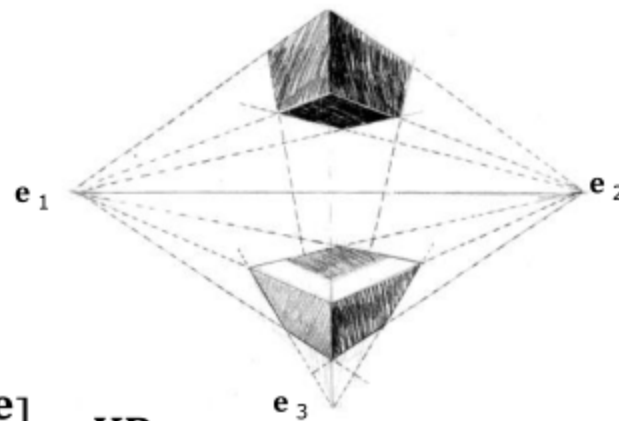
$$v = K[R|t] \begin{bmatrix} e \\ 0 \end{bmatrix} = KRe$$

$$\Rightarrow e = R^T K^{-1} v$$

- 空间上两个互相垂直的向量:

$$e_1^T e_2 = (R^T K^{-1} v_1)^T (R^T K^{-1} v_2) = 0 \quad R^T R = I$$

$$v_1^T K^{-T} R R^T K^{-1} v_2 = v_1^T K^{-T} K^{-1} v_2 = 0$$



李明磊@nuaa

8

3.4 其它标定算法

基于灭点的标定 Calibration from Vanishing Points

- 假定在图像上已知三个互相垂直的消失点

$$\omega = K^{-T} K^{-1}$$

$$\mathbf{v}_i^T \omega \mathbf{v}_j = 0$$

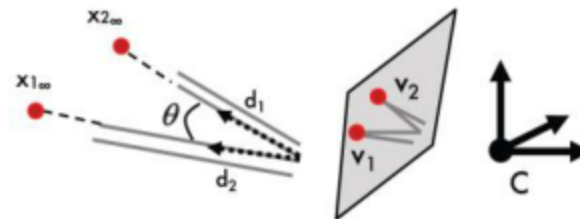
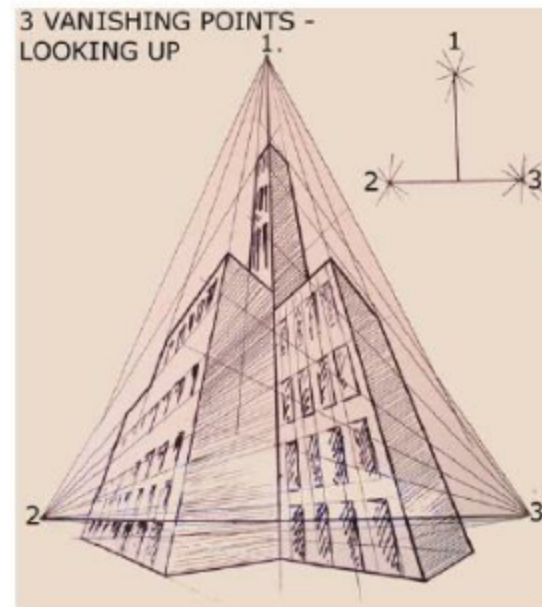
$$\mathbf{v}_j^T \omega \mathbf{v}_k = 0$$

$$\mathbf{v}_k^T \omega \mathbf{v}_i = 0$$

- 假定内参也是使用简单模型的情况

$$\mathbf{K} = \begin{bmatrix} f & 0 & u_0 \\ 0 & f & v_0 \\ 0 & 0 & 1 \end{bmatrix}$$

优化求解线性方程组
得到 $\rightarrow f \quad u_0 \quad v_0$



李明磊@nuaa

9

3.4 其它标定算法

其它: Restricted Camera Estimation

根据摄像机矩阵已知特性, 添加一些约束

- 扭曲s设为0
- 像素宽高相等 $f_x = f_y$
- 主点已知

光束法平差简介

需要优化求解的参数可以包括:

- 相机内参数、姿态、位置、世界点、影像观测点的坐标。
- 相机投影过程中的摄影光束, 联系起这些元素, 所以调整的就是光束, 这也是名字光束法平差的由来。

Minimize geometric error

→impose constraint through parametrization

$$\sum_i d^2(x_i, x'_i) + \omega_1 s^2 + \omega_2 (f_x - f_y)^2 + \dots$$

逐步提高 ω 权重

Minimize algebraic error

→assume map from param q $\rightarrow \mathbf{P} = \mathbf{K}[\mathbf{R} \quad | \quad -\mathbf{RC}]$ i.e.

$\mathbf{p} = \mathbf{g}(\mathbf{q})$

→minimize $\|\mathbf{A}\mathbf{g}(\mathbf{q})\|$

李明磊@nuaa

10



人工靶标标志



(1) 圆形定向反光标志。

定向反光标志常以圆形定向反光标志RRT（Retro reflective target）的形式呈现，其特点是反射亮度比漫射白色标志高出数百甚至上千倍，可以轻松使目标物的影像“消隐”而将RRT标志的影像突出。

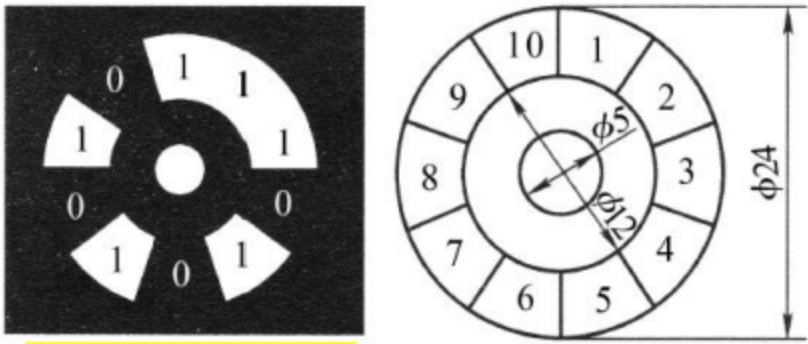
(2) 编码标志。

编码标志是通过一定的明暗区间排列组合，在靶标上进行编码。当获得观测影像后，对靶标区域的像素进行解码，从而能够直接获得点的编码对应，而不需要建立以亮度值差异为基础的特征向量进行匹配。



人工靶标标志

编码标志



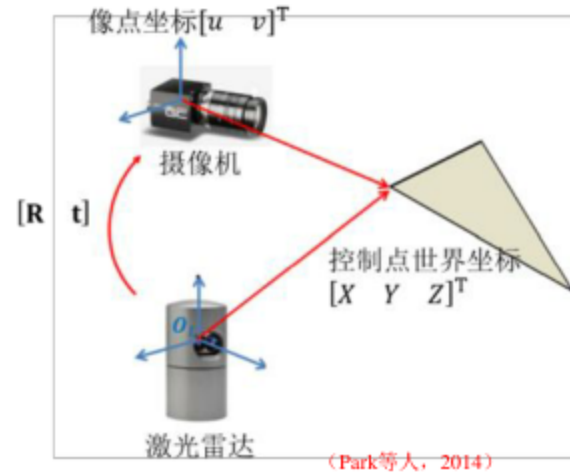
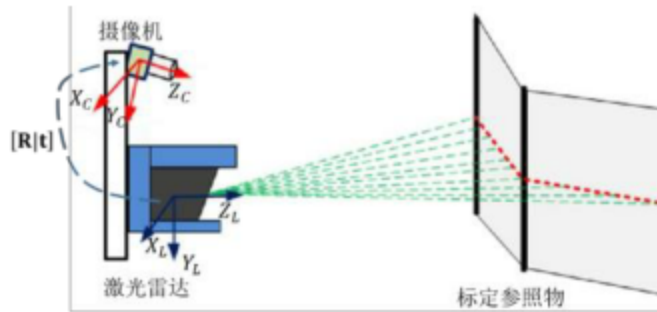
Quiz: 读数是多少?

举例：

上图是一个10位码。

编码标志中心的圆称为定位圆，其圆心就是唯一的定位基准点，用于提供编码标志的位置信息。周围的环形扇形区域称为编码段，用来提供编码标志的编码值信息。由于环形编码在影像上没有明确的起点，每一个编码段都能够作为码串的第一位，按顺时针组合码段，如果有10个编码段，则会有10个码串对应的读数。由于要求每个编码标志只能有唯一的一个编码值，所以将解译的码值定为在所有码串的十进制数值中最小的一个值。在测量影像中，能够通过编码标志自身的编码值实现同名编码标志的匹配。

拓展：摄像机与激光雷达的联合标定



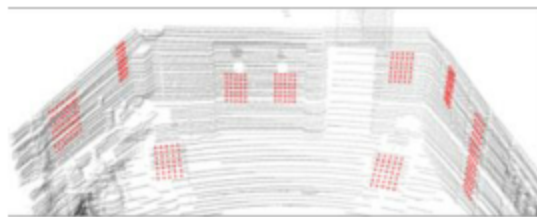
• 由数据互补性提高系统鲁棒性

- 在自动驾驶和工业测量领域中，常会使用异源异构的传感器进行联合观测。其中，激光雷达和视觉摄像机的联合使用是最常见的一种搭配方案。
- 摄像机采集影像的优点是成本低，技术发展相对比较成熟。然而，通过影像获取三维的信息会缺少准确的物理尺寸参考，另一个缺点摄像机观测受环境光的制约明显。
- 激光雷达与摄像机形成了较好的互补性，其能够直接获取到比较准确的场景三维信息，稳定性比较高。但是目前多数激光雷达的分辨率普遍不如影像的分辨率高，此外成本也较高。
- 在自动驾驶领域中，除了激光雷达和摄像机的融合探测之外，毫米波雷达、卫星导航系统、惯性测量元件和里程计都是普遍采样的多源融合传感器。

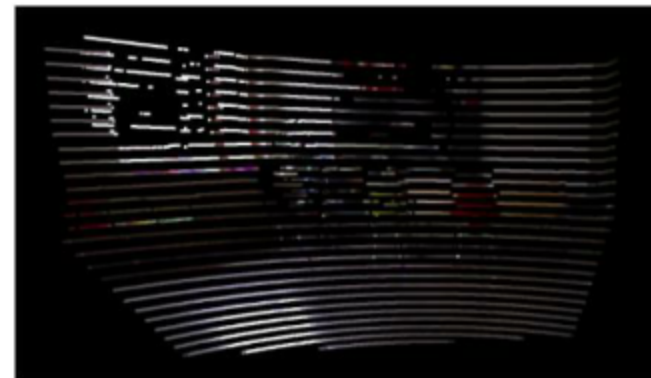
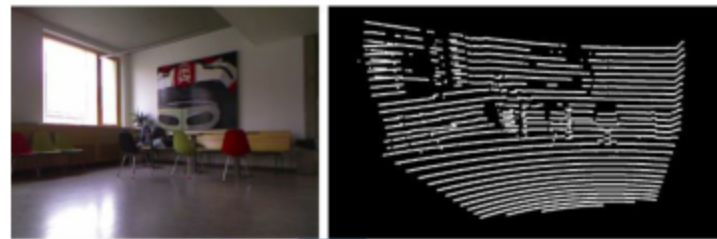
拓展：摄像机与激光雷达的联合标定



摄像机采集的影像



LiDAR扫描的三维点云



像素级融合